

## АДАПТИВНАЯ ОПТИКА

К.Р. Лозин, А.Д. Ряхин

ПОДАВЛЕНИЕ ЭФФЕКТА НАЛОЖЕНИЯ СПЕКТРОВ  
ПРИ ДИСКРЕТИЗАЦИИ ИЗОБРАЖЕНИЙ

Рассмотрены искажения изображения при его дискретизации с частотой, меньшей частоты Найквиста. Показана целесообразность предварительной низкочастотной фильтрации изображений. Предложен метод восстановления по нескольким изображениям, дискретизованным со смещением, позволяющим уменьшить эффекты наложения спектров.

Аналого-цифровое преобразование изображений, заключающееся в пространственной дискретизации и квантовании интенсивности их распределений, является обязательной операцией современных оптиковывчислительных комплексов. Точность ее выполнения во многом определяет возможности последующей обработки изображений. Так, если формирующая изображение оптическая система характеризуется угловым разрешением  $\lambda/D$ , где  $\lambda$  — длина волны светового излучения,  $D$  — диаметр апертуры системы, то для сохранения информации с этим разрешением шаг дискретизации  $\Delta$  не должен превышать величину  $\Delta_0 = \lambda/2D$ . Это условие известно как критерий Найквиста. При его нарушении происходит наложение спектров изображения, проявляющееся в искажении мелких деталей и известное под названием муар-эффекта [1]. В настоящей статье рассмотрим некоторые возможности компенсации этого эффекта. При этом ради простоты математических выкладок ограничимся одномерным анализом.

В случае одномерного дискретизатора выходное распределение  $I_d(x)$  связано с исходным распределением изображения  $I_0(x)$  как

$$I_d(x) = I_0(x) \sum_{j=-\infty}^{\infty} \delta(x - j\Delta). \quad (1)$$

Для соответствующих Фурье спектров, определяемых по правилу вида

$$\tilde{I}(f) = \int_{-\infty}^{\infty} dx I(x) \exp\{2\pi i f x\}, \quad (2)$$

из (1) следует соотношение

$$\tilde{I}_d(f) = \Delta^{-1} \sum_{j=-\infty}^{\infty} I_0(f - j\Delta^{-1}), \quad (3)$$

то есть спектр дискретизованного изображения получается бесконечным повторением спектра исходного изображения со сдвигом на величины, кратные  $\Delta^{-1}$ . Поскольку спектр оптического изображения отличен от нуля только при  $|f| \leq f_D$ , где  $f_D = D/\lambda$  — дифракционная частота отсечки, то при выполнении условия Найквиста  $\Delta \leq \Delta_0$ , где  $\Delta_0 = (2f_D)^{-1}$ , слагаемое нулевого порядка в (3) легко выделить, например, пропуская  $I_d(f)$  через фильтр низких частот  $\tilde{P}_0(f)$ , равный единице в области  $|f| < (2\Delta)^{-1}$  и нулю вне ее. В результате можно восстановить исходное изображение. В случае  $\Delta > \Delta_0$  происходит наложение слагаемых нулевого и высших порядков. Это приводит к искажению информации на частотах, определяемых неравенством  $(\Delta^{-1} - f_0) < |f| \leq f_D$ , и проявляется в появлении на изображении ложных деталей. Эффект наложения можно устранить, если перед дискретизацией изображение пропустить через упомянутый выше фильтр низких частот [1]. При этом будет потеряна информация на частотах  $\Delta^{-1}/2 < |f|^{-1} \leq f_D$ . Поскольку  $\Delta^{-1/2} > (\Delta^{-1} - f_D)$ , то полученное таким образом изображение оказывается более точной версией исходного.

Считается, что в реальных системах подобная низкочастотная фильтрация осуществляется естественным образом за счет усреднения значений интенсивности в пределах фоточувствительной поверхности элементарного датчика дискретизатора (регистратора). Математически это эквивалентно дискретизации не  $I_0(x)$ , а сглаженного распределения

$$I(x) = \int_{-\infty}^{\infty} dy I_0(y) P(x-y), \quad (4)$$

где  $P(x)$  — эффективная функция отклика датчика. Для спектра  $\tilde{I}(f)$  из (4) следует равенство

$$\tilde{I}(f) = \tilde{I}_0(f) \cdot \tilde{P}(f). \quad (5)$$

Обычно полагают  $P(x)$  равным  $\Delta^{-1}$  в пределах области  $|x| \leq \Delta/2$  и нулю вне ее, так что для  $\tilde{P}(f)$  оказывается справедливым выражение

$$\tilde{P}(f) = \frac{\sin \pi f \Delta}{\pi f \Delta}. \quad (6)$$

Такой фильтр действительно уменьшает искажения при наложении спектров, но одновременно он ослабляет неискаженную часть. В результате качество изображения может оказаться столь же низким. На рис. 1 для иллюстрации представлены результаты математического эксперимента.

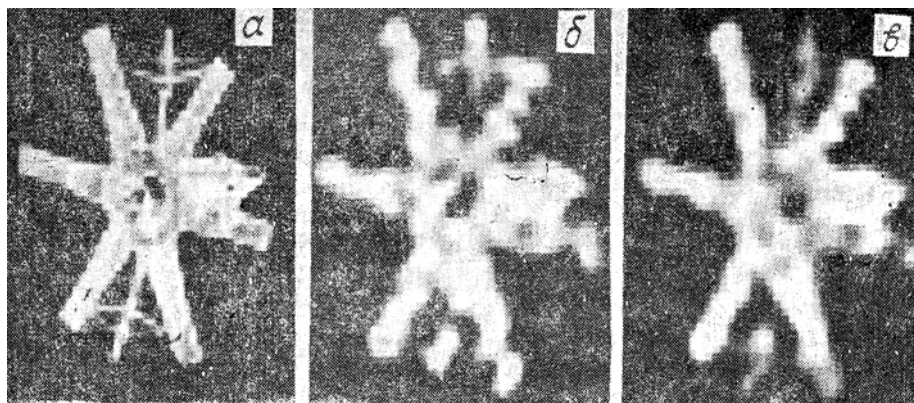


Рис. 1. Результаты дискретизации изображения:  $a$  — исходное модельное изображение;  $b$  — его простая выборка через отсчет,  $v$  — выборка со сглаживанием по элементам  $2 \times 2$

Исходное изображение  $a$ , задаваемое массивом чисел размером  $64 \times 64$  при  $\Delta_0 = 1$ , было дискретизовано с шагом  $\Delta = 2$  двумя различными способами:  $b$  — простой выборкой через шаг,  $v$  — с предварительным пропусканием через фильтр  $P(f_x) \cdot P(f_y)$ . Нормированная ошибка  $\varepsilon$  изображений  $b$  и  $v$  по сравнению с  $a$  определяется как

$$\varepsilon = \frac{\int |I_0(f) - I_{\Delta}(f)|^2 df}{\int |I_0(f)|^2 df}. \quad (7)$$

Эта ошибка оказалась равной для изображений  $b$  и  $v$  соответственно 0,163 и 0,167. Необходимо отметить, что в любом случае эффективное разрешение в изображении не лучше  $2\Delta$ .

Можно предложить иной способ уменьшения ошибок наложения спектров. Он основан на использовании нескольких версий исходного изображения, полученных при различных относительных положениях дискретизатора и исходного изображения. Так, если дискретизатор смещен на величину 0, то для спектра нового изображения справедливо соотношение

$$\tilde{I}_{\Delta}^{\theta}(f) = \Delta^{-1} \sum_{j=-\infty}^{\infty} \tilde{I}_0(f - j\Delta^{-1}) \exp\left\{-\frac{2\pi i}{\Delta} j\theta\right\}. \quad (8)$$

При известном  $\theta$  и  $2\Delta_0 \geq \Delta > \Delta_0$ , когда на каждой частоте  $f$  в (3) и (8) присутствует не более двух слагаемых, (3) и (8) можно рассматривать как систему двух линейных уравнений относительно двух неизвестных. Решение этой системы позволяет точно найти исходный спектр  $\tilde{I}_0(f)$ . В частности, при  $\theta = \Delta/2$  справедливо равенство

$$\tilde{I}_0(f) = \frac{1}{2} \left\{ \tilde{I}_{\Delta}^0(f) + \tilde{I}_{\Delta}^{\Delta/2}(f) \right\}. \quad (9)$$

Если величина  $\theta$  случайна, но равномерно распределена в интервале  $\left(-\frac{\Delta}{2}; \frac{\Delta}{2}\right)$ , то для приближенного восстановления  $\tilde{I}_0(f)$  достаточно усреднить (8) по серии реализаций. Поскольку

$$\langle \exp\left(-\frac{2\pi i}{\Delta} j\theta\right) \rangle = \begin{cases} 1, & \text{при } j = 0, \\ 0, & \text{при } j \neq 0, \end{cases} \quad (10)$$

то

$$\langle \tilde{I}_\Delta^\theta(f) \rangle = I(f). \quad (11)$$

В случае, когда на  $\theta$  смещается не дискретизатор, а само изображение, спектр равен

$$\tilde{I}_\Delta^\theta(f) = \Delta^{-1} \exp\{2\pi i f\theta\} \sum_{j=-\infty}^{\infty} \tilde{I}_0(f - j\Delta^{-1}) \exp\left\{-\frac{2\pi i}{\Delta} j\theta\right\}, \quad (12)$$

При известном  $\theta$  для нахождения  $\tilde{I}_0(f)$  опять необходимо разрешить систему уравнений (3) и (12), а при случайном и равномерно распределенном — усреднять спектры. Однако в отличие от (11) усреднению подлежат не сами спектры, а произведение вида  $\tilde{I}_\Delta^\theta(f) \exp\{-2\pi i f\theta\}$ , иначе в результате усреднения мы приходим к спектру вида (3) дискретизованного изображения. Для оценки величины  $\theta$  в этом случае можно использовать метод определения сдвига центра тяжести распределения. Этот метод основан на измерении смещения центра тяжести сдвинутого изображения относительно исходного. Центр тяжести изображения находится по формуле:

$$x_{\text{ц.т.}} = \left( \int \int x \cdot \tilde{I}_\Delta^\theta(x, y) dx dy \right) / \left( \int \int \tilde{I}_\Delta^\theta(x, y) dx dy \right), \quad (13)$$

$$y_{\text{ц.т.}} = \left( \int \int y \cdot \tilde{I}_\Delta^\theta(x, y) dx dy \right) / \left( \int \int \tilde{I}_\Delta^\theta(x, y) dx dy \right), \quad (14)$$

Ошибка определения центра тяжести данным методом мала при шаге дискретизации  $\Delta \leq 2\Delta_0$ . Действительно, интегралы, стоящие в правой части равенств (13) и (14), можно рассматривать как преобразование Фурье в точке  $f_x = 0, f_y = 0$ , а значение ложных спектров в этой точке при  $\Delta \leq 2\Delta_0$  равно 0. Если  $\Delta > 2\Delta_0$ , то ошибка в определении центра тяжести растет с увеличением  $\Delta$ . Рис. 2 иллюстрирует данный метод.

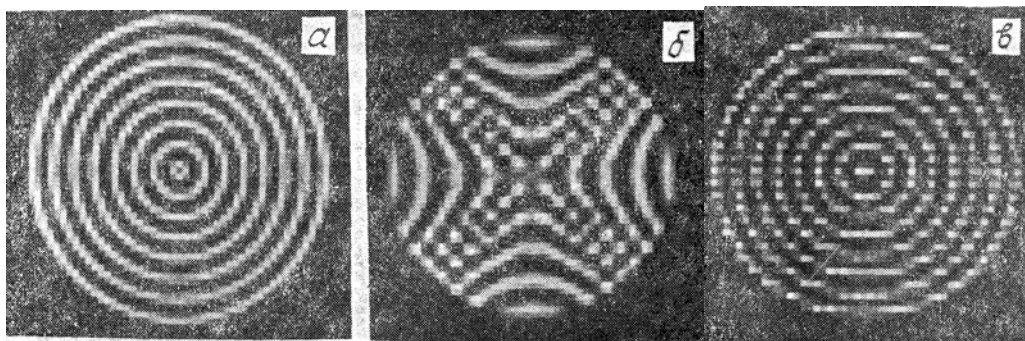


Рис. 2. Результаты восстановления по смещенным дискретизованным изображениям: *a* — исходное модельное изображение; *b* — его характерная выборка через отсчет, *v* — восстановленное изображение по 50 смещенным выборкам вида *b*

Так, на рис. 2, *a* показано исходное изображение, *b* — изображение при  $\Delta = 2\Delta_0$ , *v* — результат восстановления по 50 подобным изображениям. Ошибка  $\epsilon$  равна соответственно 0,413 и 0,147. Таким образом, путем обработки нескольких изображений, дискретизованных с шагом  $\Delta$ , возможно восстановление изображения, соответствующего шагу дискретизации по крайней мере  $\Delta/2$ .

1. Претт У. Цифровая обработка изображений. М.: Мир, 1983.
2. Макс Ж. Методы и техника обработки сигналов при физических измерениях. М.: Мир, 1983.

Научно-производственное объединение «Астрофизика»,  
Москва

Поступила в редакцию  
16 октября 1990 г.

K. R. Lozin, A. D. Ryakhin. **Compensation for the Moire-Effect in Image Sampling.**

The discrete image degradation by moire-effect is considered. Usefulness of the low-frequency image filtration is demonstrated. The new method of image restoration from few discrete images which are shifted before sampling is proposed.